

## 5 線熱パルスセンサーを用いた砂中の水分フラックスの推定 Estimation of Water Flux in Variably Saturated Soil with a Penta-needle Heat Pulse Probe

**○坂井 勝\*** **加藤薰\*\*** **Scott B. Jones\*\*\***  
**Masaru Sakai Kaoru Kato Scott B. Jones**

**はじめに** 近年、ヒーターから放出された熱を上・下流に位置する温度センサーで感知し、水分フラックスや熱特性を推定する熱パルスセンサーが注目されている。特に、1 本のヒーター線と 4 本の温度センサーから成る 5 線熱パルスセンサー (Penta-needle Heat Pulse Probe: 以下 PHPP, Fig. 1) は、直交する 2 方向のフラックスを推定できるため有用性が高い。しかし、飽和土中水分フラックスへの適用例は報告されている一方で、不飽和土に対する検討に課題が残されている。そこで本研究では、室内カラム実験で不飽和定常流を作成し、PHPP を用いて水分フラックスの推定を行なった。

**試料と方法** Fig. 1 に実験装置の概要を示す。PHPP を 2 本挿入した全長 45 cm、内径 5 cm のアクリル鉛直カラムに、鳥取砂丘砂を乾燥密度 1.62 g cm<sup>-3</sup> で水中充填した。この時、各 PHPP は流れの向きに対して 30° と 45° の角度で挿入した。カラム上端から定量ポンプと降雨装置を使用して給水し、下端の吸引圧を調節することで、飽和・不飽和定常流を作成した。水分フラックスは飽和流 (430-180 cm d<sup>-1</sup>) から不飽和流 (130-1.9 cm d<sup>-1</sup>) へ徐々に小さくし、カラム下端からの排水速度を電子天秤で測定することで、実水分フラックスとした。この時、テンシオメータ(土中水圧力)と四極センサー(土中水分量)を用いて水分分布が一定であることを確認した。PHPP 測定では、熱パルス (約 165 Wm<sup>-1</sup>) を 8 秒間出力し、上昇温度を 1 秒間隔で 120 秒間測定した。また、実験開始前の水分静止状態 (0 cm d<sup>-1</sup>) においても PHPP の測定を行ない、ヒーターとサーミスター間の距離のキャリ

ブレーションに用いた。

**水分フラックスと熱特性の推定** 無限長線源を中心とする x-y 平面上の温度上昇の解析解は次式で表される (Fig.2)。

$$T(x, y, t) = \begin{cases} \frac{q'}{4\pi\lambda} \int_0^t s^{-1} \exp\left[-\frac{(x-V_x s)^2 + (y-V_y s)^2}{4\kappa s}\right] ds; & 0 < t \leq t_0 \\ \frac{q'}{4\pi\lambda} \int_{t-t_0}^t s^{-1} \exp\left[-\frac{(x-V_x s)^2 + (y-V_y s)^2}{4\kappa s}\right] ds; & t > t_0 \end{cases}$$

ここで、 $T$  は上昇温度、 $t$  は経過時間、 $q'$  は単位長さ当たりの入力熱、 $t_0$  は熱パルス入力時間、 $\lambda$  は熱伝導率、 $\kappa$  は熱拡散係数、 $V_x$  と  $V_y$  は熱フラックスの  $x$ 、 $y$  成分である。解析解を PHPP で測定された温度上昇の測定値に対して適用し、 $\lambda$ 、 $\kappa$ 、 $V_x$ 、 $V_y$  の最適化を行なった。熱フラックス  $V$  は次式を用いて、水分フラックス  $J$  に変換した。

$$J_x = \frac{C}{C_w} V_x, J_y = \frac{C}{C_w} V_y$$

ここで  $C_w$  は水の体積熱容量、 $C$  は土の体積熱容量 ( $= \lambda/\kappa$ ) である。また、 $J_x$  と  $J_y$  から水分フラックスの大きさ  $\|J\|$  と  $y$  軸に対する流れの角度  $\phi$  が求められる。

$$\|J\| = \sqrt{J_x^2 + J_y^2} \quad \phi = \tan^{-1}(J_x/J_y)$$

**結果と考察** Fig. 2 に PHPP で推定された  $J_x$  及び  $J_y$  と、排水速度と PHPP の挿入角度から求めた実水分フラックスの  $x$ -,  $y$ -成分の比較を示す。また、Fig. 3 に  $J_x$  と  $J_y$  から求めた水分フラックスの大きさ  $\|J\|$  と流れの角度  $\phi$  を示す。飽和状態の時、挿入角度 30° では  $J_x$  は相対誤差 20 % 以内、 $J_y$  は ±5 % 以内に収まった。また、挿入角度 45° では  $J_x$  と  $J_y$  の差がほとんどなく、いずれも相対誤差 25 % 以内に収まった。どちらの挿入角度でも、

\* 三重大学大学院生物資源学研究科 Graduate school of Bioresources, Mie University

\*\* 名古屋市 Nagoya City

\*\*\* ユタ州立大学植物・土壤・気象学科 Department of Plans, Soils, and Climate, Utah State University

キーワード: 5 線熱パルスセンサー 不飽和水分フラックス 热特性

PHPP は精度よく 2 方向のフラックスを推定でき、その結果、フラックスの大きさと方向を精度よく推定できた。不飽和状態の時、挿入角度  $30^\circ$  では  $J_x$  の推定値は  $15 \text{ cm d}^{-1}$  程度一定に過大評価し、 $J_y$  の推定値は  $10 \text{ cm d}^{-1}$  程度一定に過小評価した。この時、 $\|\mathbf{J}\|$  の相対誤差は  $30 \text{ cm d}^{-1}$  以上のフラックスで  $\pm 10\%$  以内に収まり、精度よく推定された。一方、 $30 \text{ cm d}^{-1}$  以下のフラックスでも  $J_x$  と  $J_y$  の推定値は一定のずれを示したため、誤差は相対的に大きくなつた。これにより、流れの角度の推定値は大きな誤差を示した。挿入角度  $45^\circ$  では、 $J_y$  は精度よく推定できたが、 $J_x$  は実フラックスの変化をとらえるものの、常に  $55 \text{ cm d}^{-1}$  の過小評価を示した。この要因として、飽和(含水率  $\theta = 0.38 \text{ cm}^3 \text{ cm}^{-3}$ )から不飽和( $\theta = 0.10 \text{ cm}^3 \text{ cm}^{-3}$ )に変化することで、センサーと土粒子の接触が変化することや、固相・液相・気相の不均一性が変化すること、

測定部位の不飽和流の不均一性が挙げられる。不飽和状態での測定では、このような潜在的な誤差要因があることが示唆され、PHPP を不飽和流に適用する上での今後の課題である。

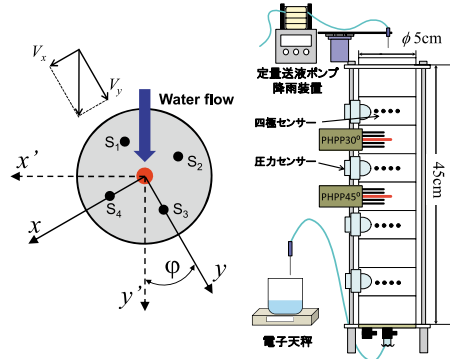


Fig. 1 Schematic illustration of PHPP and experimental setup for steady-state unsaturated flow experiment.

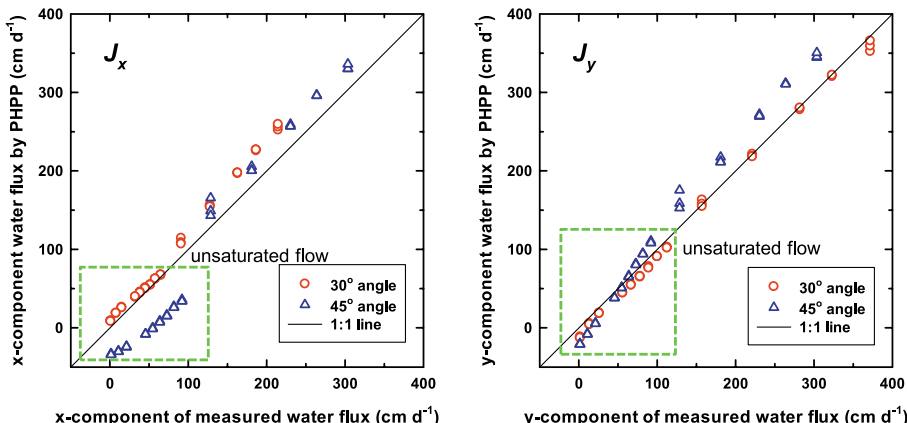


Fig. 2 x- and y-components of water flux estimated by PHPP.

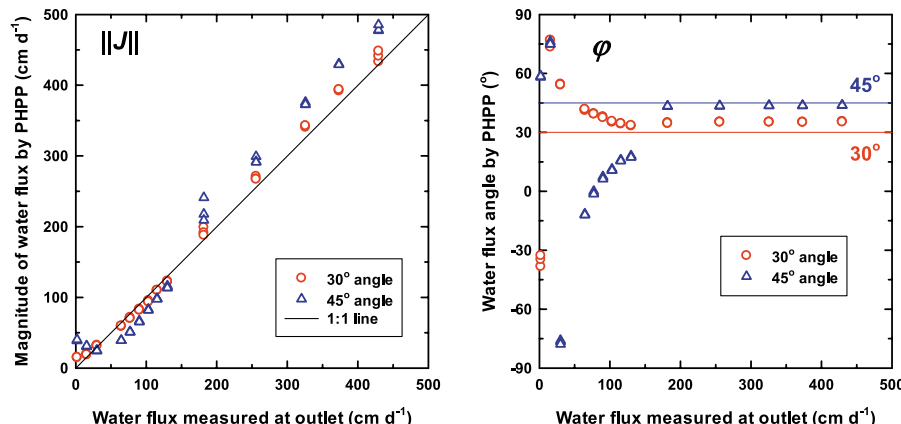


Fig. 3 Magnitude of water flux and flow angle estimated by PHPP.